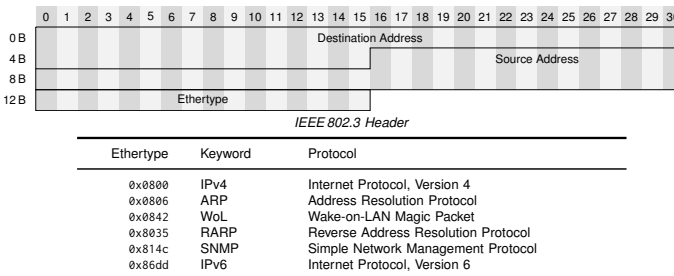
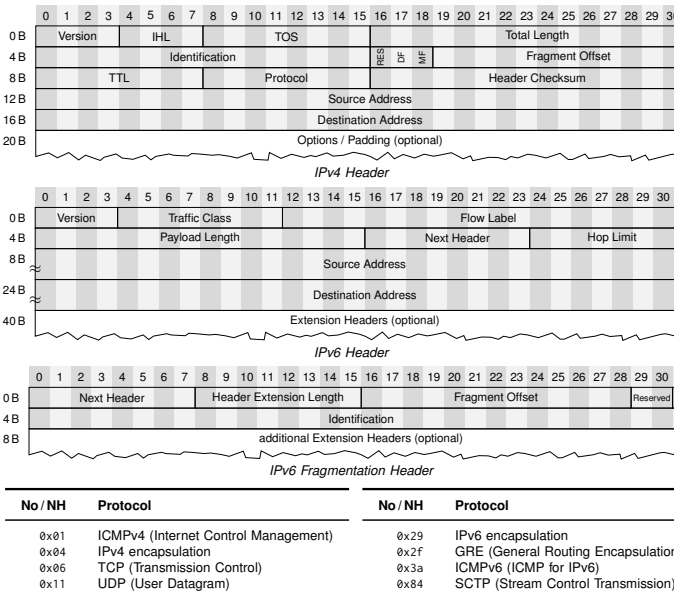


### Ethernet / IEEE 802.3 Header und Ethertypes

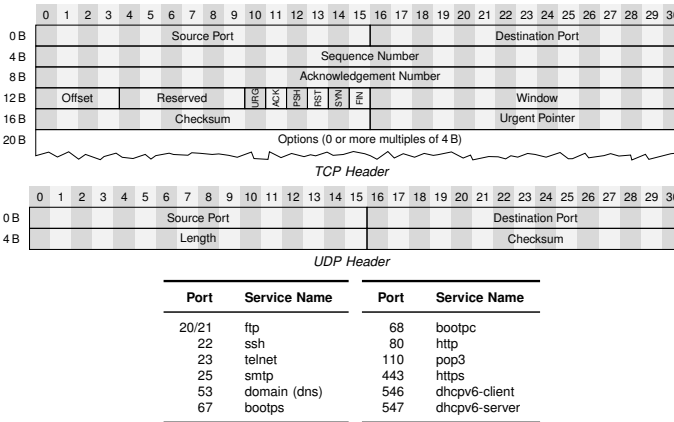


### IPv4/6 Header und IP Protocol Numbers bzw. Next Header



No/NH	Protocol	No/NH	Protocol
0x01	ICMPv4 (Internet Control Management)	0x29	IPv6 encapsulation
0x04	IPv4 encapsulation	0x2f	GRE (General Routing Encapsulation)
0x06	TCP (Transmission Control)	0x3a	ICMPv6 (ICMP for IPv6)
0x11	UDP (User Datagram)	0x84	SCTP (Stream Control Transmission)

### TCP/UDP Header und ausgewählte well-known Ports



## Physikalische Schicht

### Physikalische Konstanten/Zusammenhänge:

$$\begin{aligned} \text{Lichtgeschwindigkeit: } & c \approx 3 \cdot 10^8 \text{ m/s} \\ \text{Relative Ausbreitungsgeschwindigkeit in Kupfer / Glas: } & \nu \approx 2/3 \\ \text{Relative Ausbreitungsgeschwindigkeit in Vakuum / Luft: } & \nu \approx 1 \\ \text{Wellenlänge: } & \lambda = c/f \end{aligned}$$

### Informationsgehalt und Entropie:

Gedächtnislose Quelle emittiert Zeichen  $x \in \mathcal{X}$ , ausgedrückt durch ZV X:

$$\begin{aligned} \text{Informationsgehalt von } x \in \mathcal{X}: & I(x) = -\log_2(\Pr[X=x]) \\ \text{Entropie der Quelle: } & H(X) = -\sum_{x \in \mathcal{X}} \Pr[X=x] \log_2(\Pr[X=x]) \end{aligned}$$

### Fourierreihe:

Kreisfrequenz  $\omega = 2\pi/T$

$$s(t) = \frac{a_0}{2} + \sum_{k=1}^{\infty} a_k \cos(k\omega t) + b_k \sin(k\omega t) \quad \text{mit } a_k = \frac{2}{T} \int_{-T/2}^{T/2} s(t) \cos(k\omega t) dt, \quad b_k = \frac{2}{T} \int_{-T/2}^{T/2} s(t) \sin(k\omega t) dt.$$

### Fouriertransformation:

$s(t) \mapsto S(f)$ ,  $\omega = 2\pi f$  bzw.  $\omega = 2\pi/T$ , falls normiert auf Periode eines Grundimpulses.

$$S(f) = \frac{1}{\sqrt{2\pi}} \int_{-\infty}^{\infty} s(t) e^{-j2\pi ft} dt = \frac{1}{\sqrt{2\pi}} \int_{-\infty}^{\infty} s(t) (\cos(\omega t) - j\sin(\omega t)) dt \quad (j \text{ bezeichnet die imaginäre Einheit})$$

### Abtastung, Quantisierung und Rekonstruktion:

Abtasttheorem (Nyquist):  $f_N = 2B$  ( $B$  ist die einseitige Grenzfrequenz im Basisband)

Abgetastetes Signal:  $\hat{s}(t) = s(t) \sum_{n=-\infty}^{\infty} \delta[t - nT_a]$ , mit  $\delta[t - nT_a] = \begin{cases} 1 & \text{für } t = nT_a \\ 0 & \text{sonst} \end{cases}$

Abtastwerte:  $\hat{s}[n] = s(nT_a)$

Stufenbreite:  $\Delta = \frac{b-a}{M}$ , mit  $M = 2^N$  Stufen bei N bit Genauigkeit

Quantisierungsstufen:  $Q = \{a + \Delta/2, a + \Delta(1+1/2), \dots, a + \Delta(M-1+1/2)\}$

$\mathbb{R} \rightarrow Q, \hat{s}[n] \mapsto \tilde{s}[n]$  (Runden)

Quantisiertes Signal:  $\tilde{s}(t) = \sum_{n=-\infty}^{\infty} \tilde{s}[n] \cdot \text{rect}(t - nT_a), \text{rect}(t) = \begin{cases} 1 & \text{für } -T_a/2 \leq t \leq T_a/2 \\ 0 & \text{sonst} \end{cases}$

Quantisierungsfehler:  $q_e(t) = s(t) - \tilde{s}(t) \leq \Delta/2$ , wenn  $a \leq t \leq b$

Rekonstruktion:  $s(t) \approx \sum_{n=-\infty}^{\infty} \tilde{s}[n] \cdot \text{sinc}\left(\frac{t - nT_a}{T_a}\right), \text{sinc}(t) = \frac{\sin(\pi t)}{\pi t}$

### Kanalbandbreite:

$C_{\max}$  ist eine obere Schranke für die erzielbare Netto-Datenrate in bit/s, d. h. Übertragung redundanzfreier Daten. Dazu kann es notwendig sein, Redundanz hinzuzufügen (Kanalcodierung), was jedoch am Informationsgehalt der Nachricht nichts ändert.

Hartley:  $C_H = 2B \log_2(M)$

Shannon/Hartley:  $C_S = B \log_2(1 + \text{SNR})$

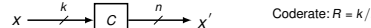
Signal-to-Noise Ratio:  $\text{SNR} = \frac{P_S}{P_N} = \frac{\text{Signalleistung}}{\text{Rauschleistung}}$

Signal-to-Noise Ratio dB:  $\text{SNR dB} = 10 \log_{10}(\text{SNR}) \text{ dB}$

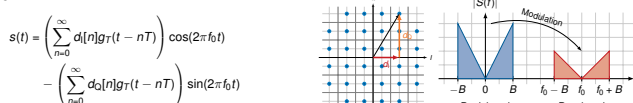
Obere Schranke:  $C_{\max} \leq \min\{C_H, C_S\}$

### Kanalcodierung:

Beispiel Blockcodes: Block der Länge  $k$  wird  $n$  bit lange Kanalwörter abgebildet ( $n > k$ ). Pro Kanalwort können dafür (je nach Code)  $m < n - k$  bit korrigiert werden.



### Modulation:



### Sicherungsschicht und Graphen

#### Serialisierungszeit, Ausbreitungsverzögerung, Übertragungszeit, Bandbreitenverzögerungsprodukt:

Serialisierungszeit:  $t_s = L/r$

Ausbreitungsverzögerung:  $t_p = d/(\nu c)$

Übertragungszeit:  $t_d = t_s + t_p$

Bandbreitenverzögerungsprodukt:  $C = t_p r$

### Cyclic Redundancy Check (CRC):

Addition = XOR

Checksumme:  $c(x) = m(x)x^n \bmod r(x)$ , mit  $n = \text{grad } r(x)$

Gesendete Nachricht:  $s(x) = m(x)x^n + c(x)$

Überprüfung:  $c'(x) = (s(x) + e(x)) \bmod r(x)$ , mit Fehlermuster  $e(x)$

### Adjazenz- und Distanzmatrix:

Adjazenzmatrix:  $A = (a)_{ij} = \begin{cases} 1 & \exists(i,j) \in A \\ 0 & \text{sonst} \end{cases}$

Distanzmatrix:  $D = (d)_{ij} = \begin{cases} c_j & \exists(i,j) \in A \\ 0 & \text{wenn } i=j \\ \infty & \text{sonst} \end{cases}$

min-plus-Produkt:  $D^0 = D^{n-1} \otimes D$ , mit  $d_{ij}^0 = \min_{k \in N} \{d_{ik}^{n-1} + d_{kj}\}, n \geq 1$

## Vermittelungsschicht

**Vermittelungarten:** Übertragungszeit einer Nachricht der Länge der  $L$  über  $n$  Zwischenstationen mit jeweils identischer Datenrate  $r$  über die Gesamtstrecke:

Leitungsvermittlung:  $T_{LV} = t_s + 4t_p = \frac{L}{r} + \frac{4d}{\nu c}$

Nachrichtenvermittlung:  $T_{NV} = (n+1)t_s + t_p = (n+1) \frac{L_H + L}{r} + \frac{d}{\nu c}, L_H = \text{Länge des Nachrichtenheaders}$

Packetvermittlung:  $T_{PV} = \frac{1}{r} \left( \frac{L}{p_{\max}} \right) L_H + L + n(L_h + p_{\max}) + \frac{d}{\nu c}, L_h = \text{Länge der Paketheder}$

**Round Trip Time (RTT):** RTT zwischen den Knoten  $s, t \in \mathcal{N}$  über den Pfad  $\mathcal{P} = \{(s, 1), (1, 2), \dots, (n, t)\}$  und den i. A. nicht symmetrischen Rückweg  $\mathcal{P}'$ :

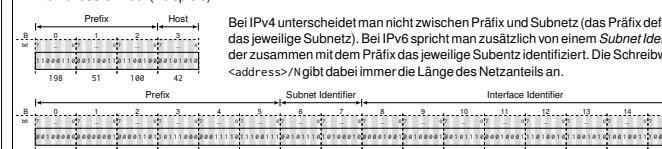
RTT (allgemein):  $\text{RTT} = \sum_{(i,j) \in \mathcal{P}} (t_s(i,j) + t_p(i,j)) + \sum_{(i,j) \in \mathcal{P}'} (t_s(i,j) + t_p(i,j))$

RTT (symmetrische Pfade):  $\text{RTT}(s, t) = 2 \sum_{(i,j) \in \mathcal{P}} (t_s(i,j) + t_p(i,j))$

## Spezielle IP-Adressen/-Adressbereiche:

Adressbereich	Funktion
0..0..0..0/8	Hosts in diesem Netzwerk
127.0..0..0/8	Loopback, speziell 127.0.0.1
10..0..0..0/8	private Adressen
172.16..0..0/12	private Adressen
192.168..0..16	private Adressen
169.254..0..16	Automatic Private IP Addressing
255.255..255.252..32	Global Broadcast
255.255..255.255..32	Solicited Node Adressen

## IPv4/6 Adressformat: (Beispiele)



## Transportschicht

### Schiebefensterprotokolle

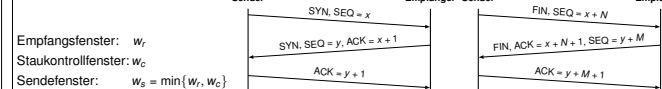
Kardinalität Sequenznummernraum:  $N$ . Maximale Größe des Sendefensters  $w_s$  um Verwechslungen zu vermeiden:

Go-Back-N:  $w_s \leq N - 1$

Selective Repeat:  $w_s \leq \left\lfloor \frac{N}{2} \right\rfloor$

### Fenster bei TCP

#### TCP-Handshake und TCP-Teardown



**TCP Durchsatz** in der Congestion Avoidance Phase. Annahme: Segmentverlust im Netzwerk ab  $w_s \geq x \cdot \text{MSS}$ .

Zeit zwischen Segmentverlust:  $T = \left(\frac{x}{2} + 1\right) \cdot \text{RTT}$

Anzahl gesendeter Segmente in T:  $n = \frac{3}{8}x^2 + \frac{3}{4}x$

Verlustrate:  $\theta = \frac{1}{n}$

Durchsatz:  $r_{TCP} = \frac{n \cdot \text{MSS}}{T} \cdot (1 - \theta)$

## Anwendungsschicht

### Präfixfreie Codes

Gültige Codewörter eines **präfixfreien Code** sind niemals Präfix eines anderen Codeworts desselben Codes.

Ein optimaler präfixfreier Code minimiert die mittlere Codewortlänge

$$\sum_{i \in \mathcal{A}} p(i) \cdot |c(i)|,$$

wobei  $p(i)$  die Auftretswahrscheinlichkeit von  $i \in \mathcal{A}$  und  $c(i)$  die Abbildung auf ein entsprechendes Codewort bezeichnen.

### DNS Resource Records

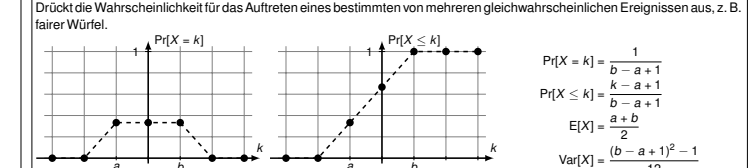
Record-Typ	Funktion
SOA	(Start of Authority) markiert die Wurzel einer Zone
NS	geben die FQDNs der für die Zone autoritativen Nameserver an
A	assoziierten einen FQDN mit einer IPv4-Adresse
AAAA	assoziierten einen FQDN mit einer IPv6-Adresse
CNAME	Alias, verweist auf ein „Canonical Name“, welcher wiederum ein FQDN ist
MX	geben den Mailserver als FQDN einer Domain an
TXT	assoziierten einen FQDN mit einem String (Text)
PTR	assoziierten eine IPv4- oder IPv6-Adresse mit einem FQDN (Reverse DNS)

### Reverse DNS Zonen

IPv4: in-addr.arpa., IPv6: ip6.arpa.

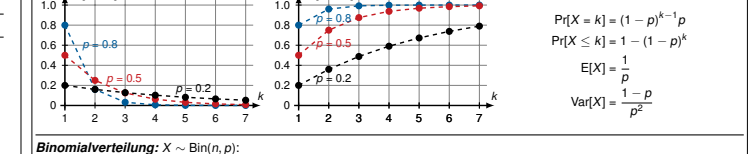
## Wahrscheinlichkeitsverteilungen

### Discrete Gleichverteilung: $X \sim U(a, b)$ :



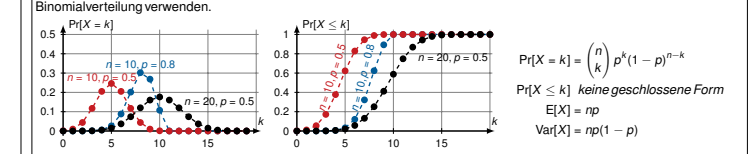
### Geometrische Verteilung: $X \sim \text{Geo}(\rho)$ :

Drückt ein zeitdiskretes Warteproblem aus, z. B. zählt die Anzahl der Versuche bis zum Erfolg (bzw. die Anzahl erfolgloser Versuche bis zum Erfolg, wenn der Exponent entsprechend verschoben wird).



### Binomialverteilung: $X \sim \text{Bin}(n, p)$ :

Drückt die Wahrscheinlichkeit für  $0 \leq k \leq n$  Erfolg bei konstanter Erfolgswahrscheinlichkeit  $p$  aus, z. B. Lotto. Für  $n \rightarrow \infty$  und  $p \rightarrow 0$  erhält man die Poissonverteilung. Für  $n \geq 10$  und  $p < 0.5$  kann man die Poissonverteilung als Näherung für die Binomialverteilung verwenden.



### Poissonverteilung: $X \sim \text{Po}(\lambda)$ :

Zählt das Auftreten unabhängiger und gleich verteilter Ereignisse mit Rate  $\lambda$ . Stellt für  $\lambda = np$  den Grenzwert der Binomialverteilung ( $n \rightarrow \infty, p \rightarrow 0$ ) dar.

